

1. はじめに 局部載荷時や掘削時の粘土地盤の挙動解析を合理的に行うには、粘土のレオロジー特性を十分に把握しておく必要がある。そこで本研究では、粘土地盤の破壊予知と制御への応用を究極の目標として、まず正規圧密粘土の非排水フリープ破壊挙動の解析を行うのである。以前に筆者は同様なフリープ破壊問題の解説^{注1)}を行っているが、それはRunge-Kutta-Gill法による数値計算に基づくものであり、各種のパラメータなどのような形でフリープ破壊を支配しているかは、不明であった。本研究では、最近筆者が得たフリープ破壊の解析解に基づいて上述のような難点を解消するとともに、フリープ破壊に対する統一的な理論的枠組を与えようとするのである。

注1) Sejyuchi, H. (1977), Proc. 9th Int. Conf. Soil Mech. Found. Eng., Vol. 1, pp. 289-292.

2. 正規圧密粘土の非排水フリープ破壊の理論論

(a) 弾・粘塑性構成式の一般表示 先に筆者は正規圧密粘土のレオロジー特性を表現するため、ひずみ速度 $\dot{\epsilon}_{ij}$ が弾性成分 $\dot{\epsilon}_{ij}^e$ と粘塑性成分 $\dot{\epsilon}_{ij}^p$ の和から成ると仮定した後、 $\dot{\epsilon}_{ij}^e$ と $\dot{\epsilon}_{ij}^p$ のそれぞれに対して次式のような具体的表現を求めている。^{注1)}

$$\dot{\epsilon}_{ij}^e = \frac{K \dot{p}}{3(1+\epsilon_0) p} \delta_{ij} + \frac{\dot{\omega}_{ij}}{2\alpha} \quad \dots \dots (1), \quad \dot{\epsilon}_{ij}^p = [1 - \exp(-\frac{2f}{\alpha})] \frac{\partial f}{\partial \sigma_{ij}} \dot{\sigma}_{ij} + \dot{\omega}_{ij} \exp(\frac{f-\omega_{ij}}{\alpha}) \frac{\partial f}{\partial p} \quad \dots \dots (2)$$

ここに、 K は膨脹指數、 ϵ_0 は規準開隙比、 p は平均有効主応力 ($= \sigma_{ii}'/3$)、 σ_{ij} は偏心応力、 ϵ_{ij} はせん断剛性率、 $\dot{\omega}_{ij}$ は体積ひずみひの粘塑性成分、 α は二次圧縮指數、 f は規準体積ひずみ速度、 ω_{ij} は有効応力、そして f は次式で定義されるスカラー関数である。

$$f = \frac{\lambda - K}{1 + \epsilon_0} \ln\left(\frac{p}{p_0}\right) + D \cdot \left(\frac{8}{p} - \gamma_0\right) \quad \dots \dots (3)$$

ただし、入は圧縮指數、 D はダイレイタンシー係数(柴田, 1963)、 8 は一般化された主応力差 ($= \sqrt{(3/2)\sigma_{ij}\sigma_{ij}}$)、 p_0 と γ_0 は、それぞれ規準状態における p と $8/p$ の値である。

(b) 破壊条件 上記理論における破壊条件は、 $\dot{\epsilon}_{ij}^p \rightarrow \infty$ となるときの有効応力条件として規定される。すなわち、式(2)において $\frac{\partial f}{\partial p} = 0$ なることである。式(3)の定義式を考慮すると結局、破壊条件はつきのようになる。

$$8/p = M, \quad \text{ただし } M \equiv \frac{\lambda - K}{D \cdot (1 + \epsilon_0)} \quad \dots \dots (4)$$

上式の結果は、時間効果を考慮していない Roscoe ら (1963) のカムフレイ・モデルと太田 (1971) のダイレイタンシー理論の結果と形式的に一致している。

(c) 粘塑性体積ひずみひに関する一般解 式(2)において $\dot{\omega} = 0$ とし、緩和をとると、粘塑性体積ひずみひに関する一階の微分方程式が得られる。この式を解くために、両辺から $\dot{\omega} = \frac{\partial f}{\partial \sigma_{ij}} \dot{\sigma}_{ij}$ を引いた後で、 $\exp(\frac{2f-f}{\alpha})$ を乗じる。ついでこれを、時間 $t=0$ において $\dot{\omega}=0$ なる初期条件のとどで積分すると、任意の $\dot{\omega}(t)$ のとどにおける粘塑性体積ひずみひの一般解が、次式のように求められる。

$$\dot{\omega} = \alpha \cdot \ln [1 + (\dot{\omega}_0 t / \alpha) \exp(f/\alpha)] \quad \dots \dots (5)$$

式(5)は、元々の構成式(2)が、 $F \equiv \alpha \cdot \ln [1 + (\dot{\omega}_0 t / \alpha) \cdot \exp(f/\alpha)]$ で定義される粘塑性ポテンシャル F の存在と、随伴粘塑性運動則に基づいていることの必然的な帰結である。

(d) 非排水条件における粘塑性体積ひずみひの表現 食料粘土に対する非排水条件は、 $\dot{\omega} = \dot{\omega}^e + \dot{\omega}^p = 0$ で表わされる。式(1)からわかるように、 $\dot{\omega}^e \equiv \dot{\epsilon}_{ij}^e = \frac{K \cdot \dot{p}}{(1 + \epsilon_0) p}$ であるから、非排水という拘束条件下の粘塑性体積

ひずみ $\dot{\epsilon}$ が次式を満足しなければならない。

$$\dot{\epsilon} = -\frac{K}{1+e_0} \ln \left(\frac{P}{P_0} \right) \quad \dots \dots (6)$$

(e) 非排水クリープにおける平均有効主応力の経時変化

式(5), (6)からひずみを消去し、経過時間 t に関して解くと、次式が得られる。

$$t = \frac{\alpha}{\dot{\epsilon}_0} \cdot \left\{ 1 - \left(\frac{P}{P_0} \right)^{\frac{K}{\alpha \cdot (1+e_0)}} \right\} \cdot \exp \left\{ - \frac{\lambda \cdot \ln \left(\frac{P}{P_0} \right) + \frac{\lambda-K}{M} \cdot \left(\frac{8}{P} - e_0 \right)}{\alpha \cdot (1+e_0)} \right\} \quad \dots \dots (7)$$

上式において、三軸クリープ試験の場合にはクリープ応力 $\sigma_c (= \sigma_1 - \sigma_3)$ が $t = 0$ 以降は時間的に一定であることに注意すると、この関係式が非排水クリープにおける平均有効主応力の経時変化を表わしていることわかる。

(f) クリープ破壊時間 t_f とクリープ応力 σ_c の関係

クリープ破壊は、先述のように式(4)を満足する有効応力条件のところで起る。すなわち、クリープ破壊時の η の値は、 $\eta = 8/M$ である。この関係式を式(7)に代入すると、つぎのようになる。 ----- (8)

$$t_f = \frac{\alpha}{\dot{\epsilon}_0} \left\{ 1 - \left(\frac{8}{MP_0} \right)^{\frac{K}{\alpha \cdot (1+e_0)}} \right\} \cdot \exp \left\{ - \frac{\lambda \cdot \ln \left(\frac{8}{MP_0} \right) + \frac{\lambda-K}{M} \cdot (M - e_0)}{\alpha \cdot (1+e_0)} \right\}$$

図-1は、一例として式(8)を等方正規圧密粘土(モデル粘土)の三軸非排水クリープ破壊へ適用した結果を示すものである。解析に用いた土質パラメータ値は、文献(1)の表-1に記載されているものと同一である。

(g) 二次クリープにおける特性量 M_s , $\dot{\epsilon}_{1s}$ および t_s

クリープ破壊に至る場合の軸ひずみ $\dot{\epsilon}_1$ の経時変化に注目すると、一般に一次クリープ、二次クリープおよび三次クリープの三領域に分けることができる。すなわち、一次クリープ領域ではひずみ速度 $\dot{\epsilon}_1$ は時間とともに減少し、ある時間まで最小値(一定値) $\dot{\epsilon}_{1s}$ をとる。そして、その後の三次クリープ領域では一転して、ひずみ速度 $\dot{\epsilon}_1$ は時間とともに増加して行き、ついでにクリープ破壊に至る。

上述のことから二次クリープ領域では $\dot{\epsilon}_1 = 0$ となることがわかる。構成式(1)～(3)と非排水拘束条件式(6)に基づいて、 $\dot{\epsilon}_1 = 0$ を満たす有効応力条件を求めてみると、 $\eta = M_s / P_0$ となる。ここに M_s は、土質定数 $\frac{K}{1+e_0}$ および α で表わされた材料定数である。すなわち、 $X \equiv M_s / M$ とおくと、 M_s / M の値は、次式のような X に関する三次方程式の根(ただし、 $0 \leq X \leq 1$)として求めることができる。

$$\frac{\frac{\lambda}{\lambda-K} - X}{\frac{K}{\lambda-K} + Z \cdot (1-X)} = \frac{\alpha \cdot (1+e_0)}{\lambda-K} \cdot X \quad \dots \dots (9) \quad (X \equiv M_s / M)$$

このようにして若干の演算の後、二次クリープ速度 $\dot{\epsilon}_{1s}$ は次式のように求められる。(解析例を図-2に示す)

$$\dot{\epsilon}_{1s} = \frac{\dot{\epsilon}_0}{(M-M_s) \cdot \left\{ 1 + \frac{\lambda-K}{K \cdot M} \cdot (M-M_s) \right\}} \cdot \exp \left\{ \frac{\lambda \cdot \ln \left(\frac{8}{M_s P_0} \right) + \frac{\lambda-K}{M} \cdot (M_s - e_0)}{\alpha \cdot (1+e_0)} \right\} \quad \dots \dots (10)$$

他方、二次クリープまでの時間 t_s は、式(7)中の η に $\frac{8}{M_s P_0}$ を代入することにより求まる。同式と式(10)より、微小項 $\left(\frac{8}{M_s P_0} \right)^{\frac{K}{\alpha \cdot (1+e_0)}}$ を無視すると、二次クリープ領域における $\dot{\epsilon}_{1s} \cdot t_s$ の値は、次式のように材料定数のみで表わすことができる。 $\dot{\epsilon}_{1s} \cdot t_s = \text{一定}$ なる関係と同様にして得られることを最後に補足しておこう。

$$\dot{\epsilon}_{1s} \cdot t_s = \alpha / [(M-M_s) \cdot \left\{ 1 + \frac{\lambda-K}{K \cdot M} \cdot (M-M_s) \right\}] = \text{Constant} \quad \dots \dots (11)$$

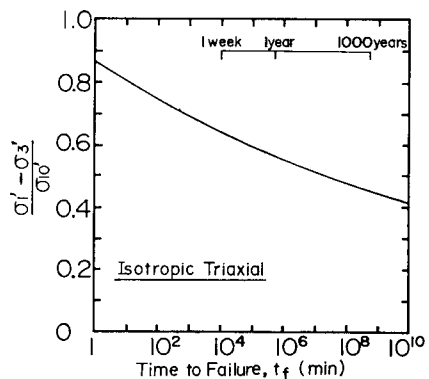


図-1 クリープ応力とクリープ破壊時間の理論的関係

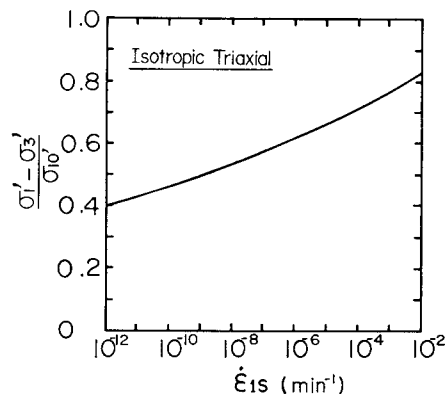


図-2 クリープ応力と二次クリープにおけるひずみ速度の理論的関係